

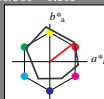
Eingabe: Farbmetrisches Reflexions-System ORS18

für Buntton $h^* = lab^*h = 38/360 = 0.105$ lab^*ch und lab^*nch

D65: Buntton O

LCH*Ma: 48 83 38

rgb*Ma: 1.0 0.0 0.0

Dreiecks-Helligkeit t^* 

%Umfang

 $u^*_{rel} = 93$

%Regularität

 $g^*_{H,rel} = 57$ $g^*_{C,rel} = 59$

ORS18; adaptierte CIELAB-Daten

	$L^*=L^*_a$	a^*_a	b^*_a	$C^*_{ab,a}$	$h^*_{ab,a}$
O _{Ma}	47.94	65.37	50.52	82.62	38
Y _{Ma}	90.37	-10.27	91.77	92.34	96
L _{Ma}	50.9	-62.79	34.95	71.87	151
C _{Ma}	58.62	-30.35	-45.01	54.3	236
V _{Ma}	25.71	31.11	-44.42	54.24	305
M _{Ma}	48.13	75.27	-8.35	75.73	354
N _{Ma}	18.01	0.0	0.0	0.0	0
W _{Ma}	95.41	0.0	0.0	0.0	0
R _{CIE}	39.92	58.66	26.98	64.56	25
J _{CIE}	81.26	-2.17	67.76	67.79	92
G _{CIE}	52.23	-42.26	11.75	43.87	164
B _{CIE}	30.57	1.15	-46.84	46.87	271

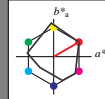
Ausgabe: Farbmetrisches Reflexions-System MRS18

für Buntton $h^* = lab^*h = 30/360 = 0.083$ lab^*ch und lab^*nch

D65: Buntton R

LCH*Ma: 50 77 30

rgb*Ma: 1.0 0.0 0.0

Dreiecks-Helligkeit t^* 

%Umfang

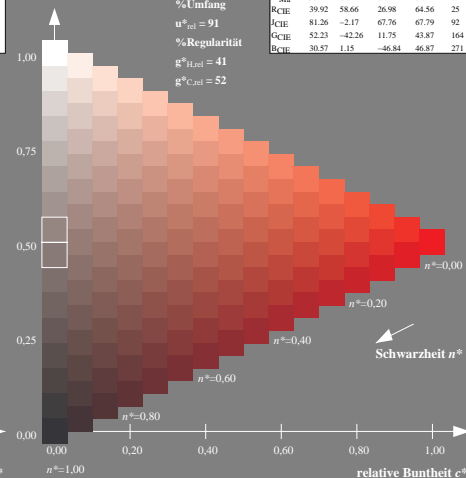
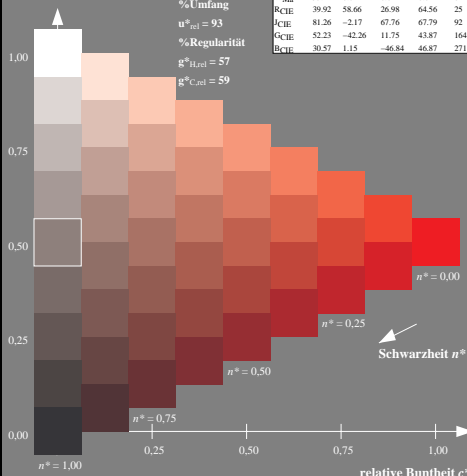
 $u^*_{rel} = 91$

%Regularität

 $g^*_{H,rel} = 41$ $g^*_{C,rel} = 52$

MRS18; adaptierte CIELAB-Daten

	$L^*=L^*_a$	a^*_a	b^*_a	$C^*_{ab,a}$	$h^*_{ab,a}$
R _{Ma}	49.63	66.96	38.37	77.18	30
J _{Ma}	90.7	-6.36	88.75	88.98	94
G _{Ma}	52.11	-69.73	9.44	70.37	172
G _{50B} _{Ma}	45.03	-36.57	-28.47	46.36	218
B _{Ma}	36.65	23.19	-63.05	67.18	290
B _{50R} _{Ma}	34.94	57.17	-44.26	72.31	322
N _{Ma}	18.01	0.0	0.0	0.0	0
W _{Ma}	95.41	0.0	0.0	0.0	0
R _{CIE}	39.92	58.66	26.98	64.56	25
J _{CIE}	81.26	-2.17	67.76	67.79	92
G _{CIE}	52.23	-42.26	11.75	43.87	164
B _{CIE}	30.57	1.15	-46.84	46.87	271



UG900-7, 9stufige Reihen für konstanten CIELAB Buntton 38/360 = 0.105 (links)

16stufige Reihen für konstanten CIELAB Buntton 30/360 = 0.083 (rechts)

BAM-Prüfvorlage UG90; Farbmetrik-Systeme ORS18 & MRS18input: cmy0* setcmykcolor
D65: 9 und 16stufige Farbreihen für 10 Bunttöne

output: no change compared to input